

図 17 試料 B (サンロック) 及び DL-4662 と α -PHP 混合溶液の LC/MS (TIC)
(上から試料 B の TIC, XIC246, XIC266, UV254nm, DL-4662 と α -PHP 混合溶液 TIC)

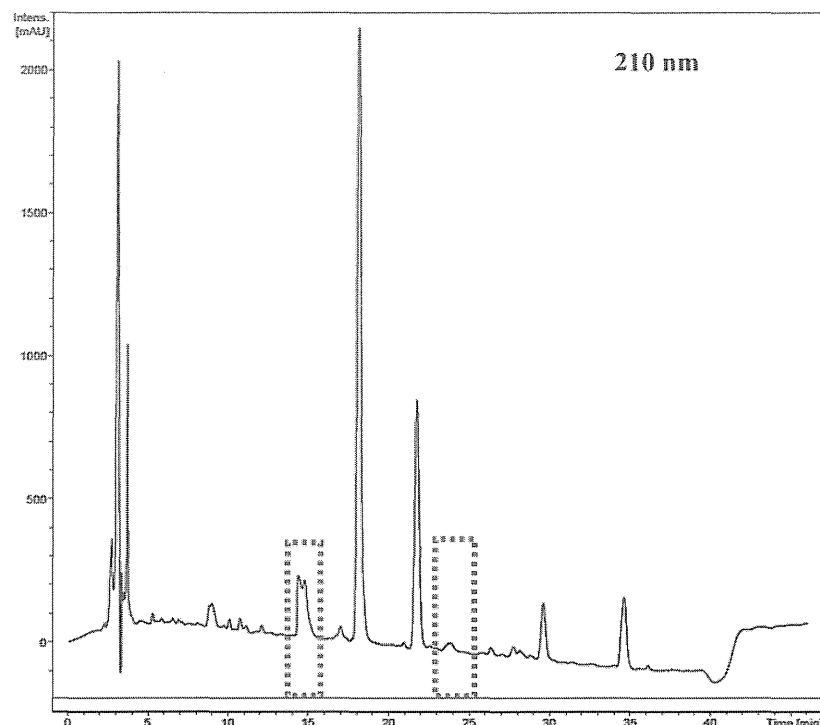


図 18 条件 4 における試料 B (サンロック) の HPLC クロマトグラム(210 nm)
(方法 3 により得た試料溶液を $5 \mu\text{l}$ インジェクトした)
(点線は DL-4662, α -PHP と推定されるピーク)

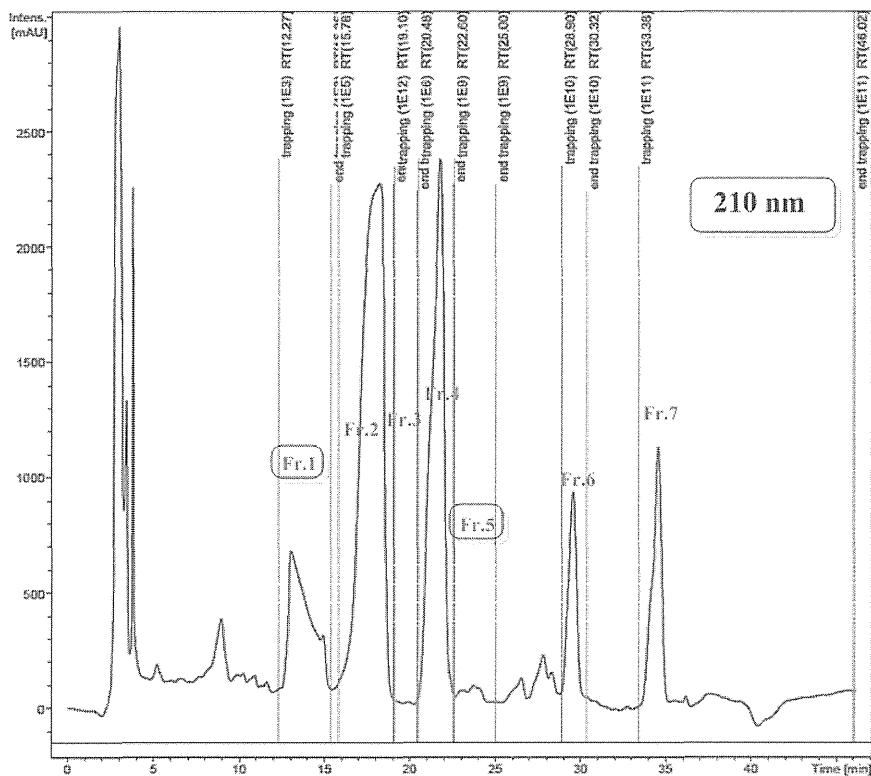


図 19 条件 4 における試料 B (サンロック) の HPLC クロマトグラム(210 nm)
(方法 3 により得た試料溶液を $40 \mu\text{l}$ インジェクトした)
(Fr.1 : DL-4662, Fr.5: α -PHP と推定されるフラクション)

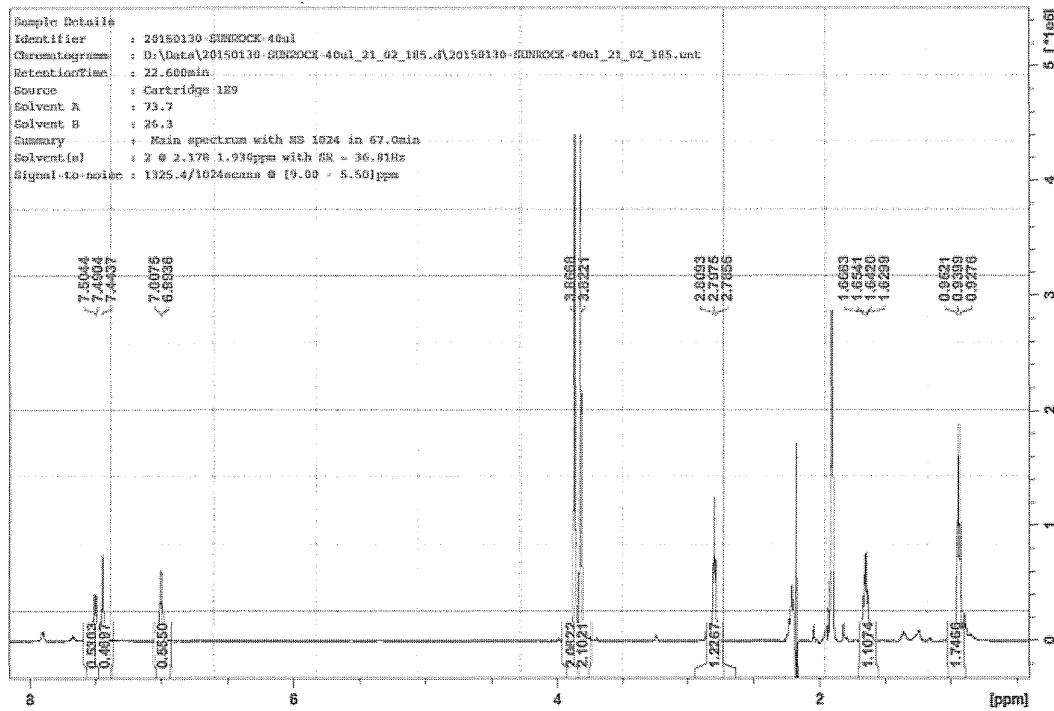


図 20 条件 4 における試料 B (サンロック) の Fr.5 の $^1\text{H-NMR}$ (600MHz)

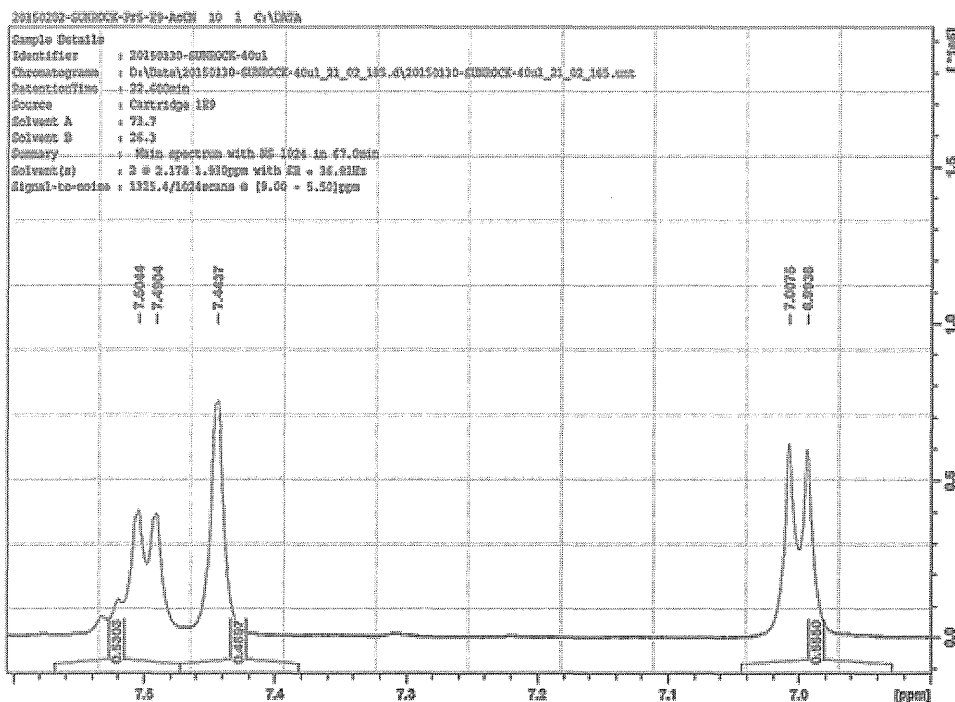


図 21 条件 4 における試料 B (サンロック) の Fr.5 の $^1\text{H-NMR}$ (600MHz) (拡大)

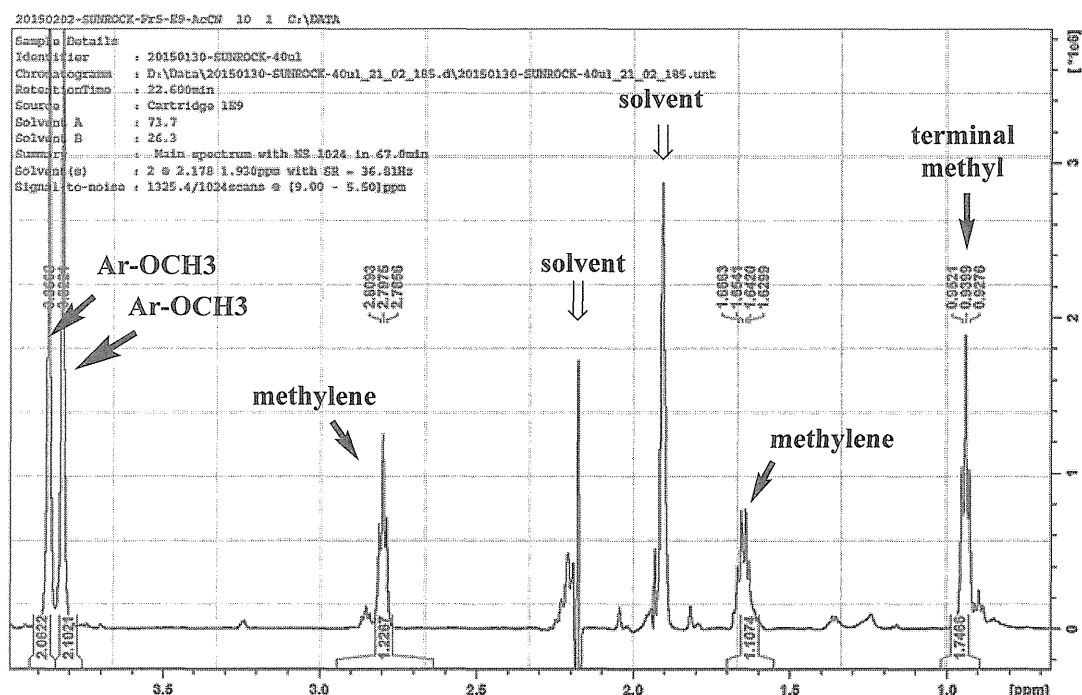
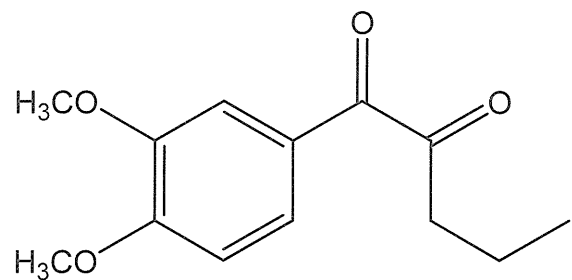


図 22 条件 4 における試料 B (サンロック) の Fr.5 の $^1\text{H-NMR}$ (600MHz) (拡大)



Chemical Formula: C₁₃H₁₆O₄

Exact Mass: 236.10486

Molecular Weight: 236.26700

図 23 Fr.5 の推定される化学構造式

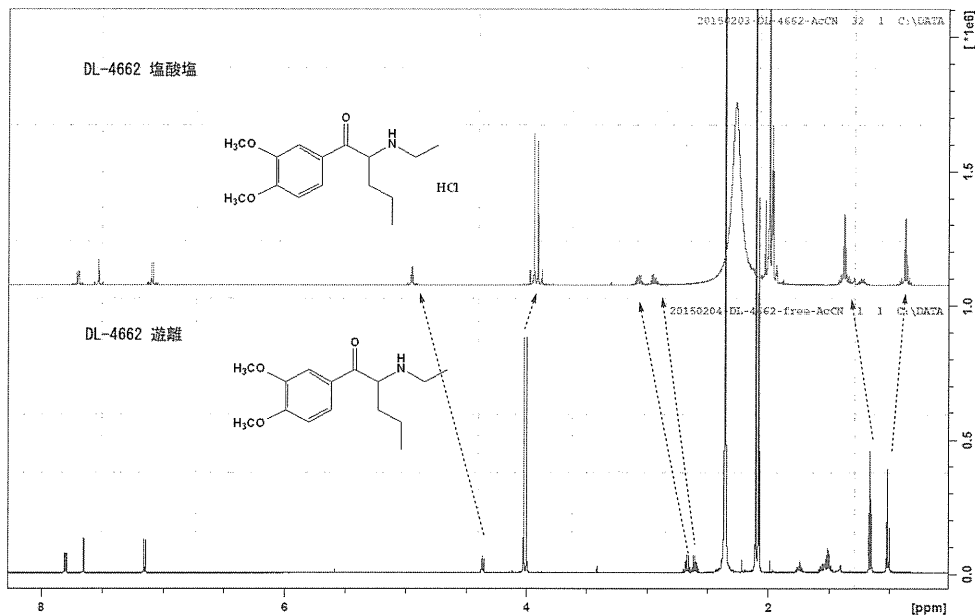


図 24 DL-4662 塩酸塩と遊離塩基の ¹H-NMR (600MHz)

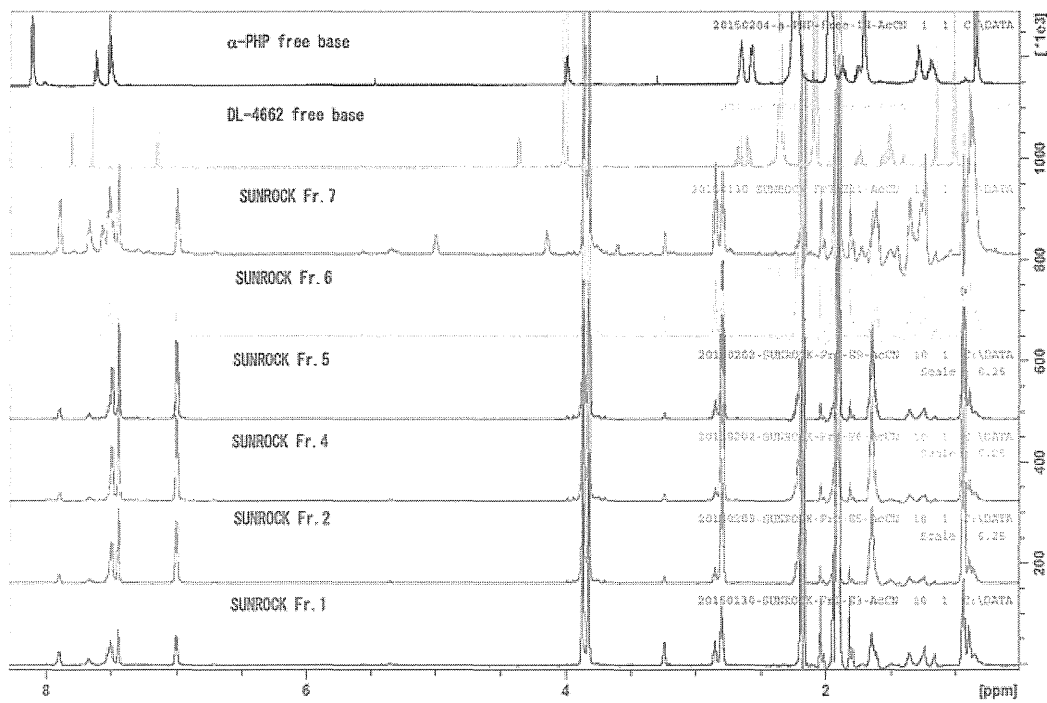


図 25 サンロックの各フラクションの¹H-NMR (600MHz)

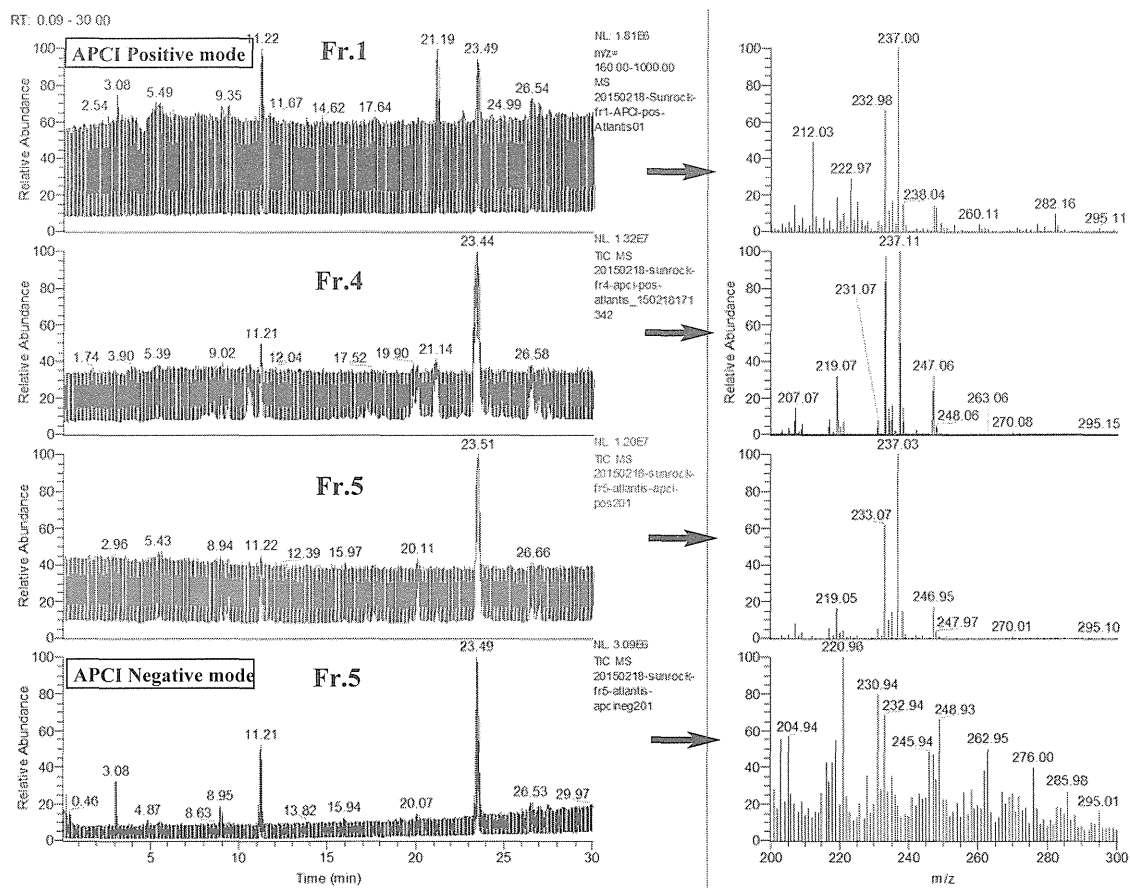


図 26 サンロックの各フラクションのAPCI-Orbitrap MS

20150218-sunrock.t5-standard.apci-pos201#8327-8415 RT: 23.37-23.62 AV: 45 SB: 32 22.98-23.16 NL: 170.66
T: FTMS + p APCI corona Full ms [160.00-1000.00]

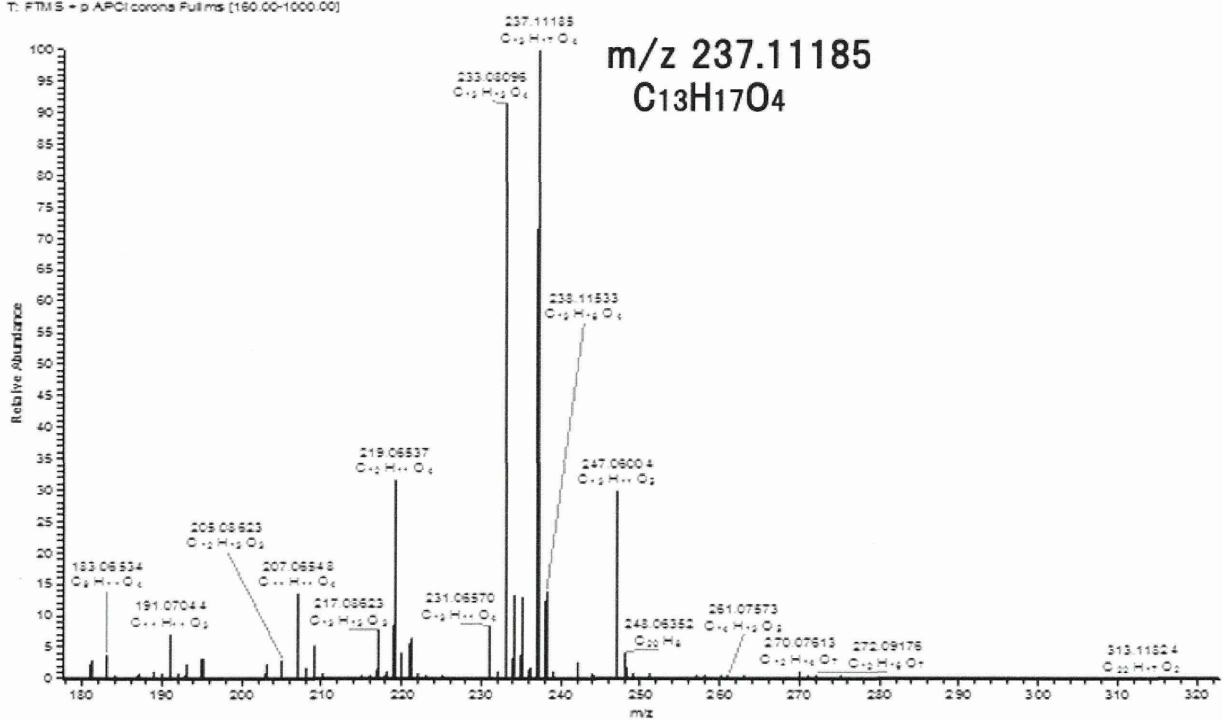


図 27 サンロック Fr. 5 の APCI-Orbitrap MS (Positive mode)

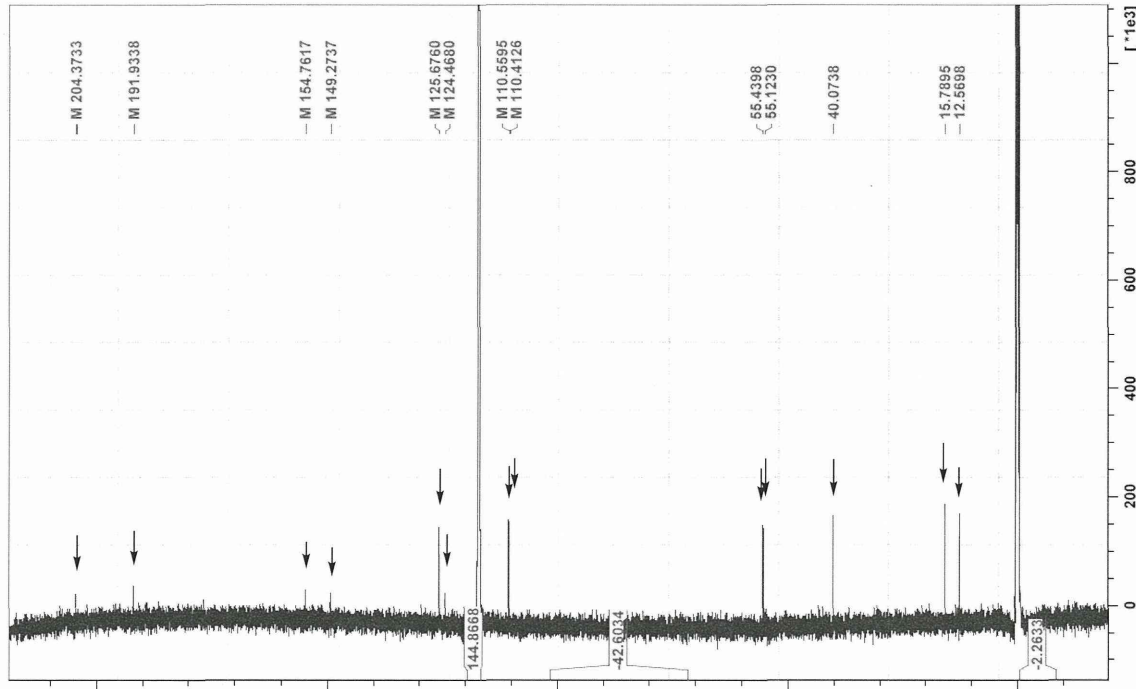


図 28 サンロック Fr.5 の ^{13}C -NMR

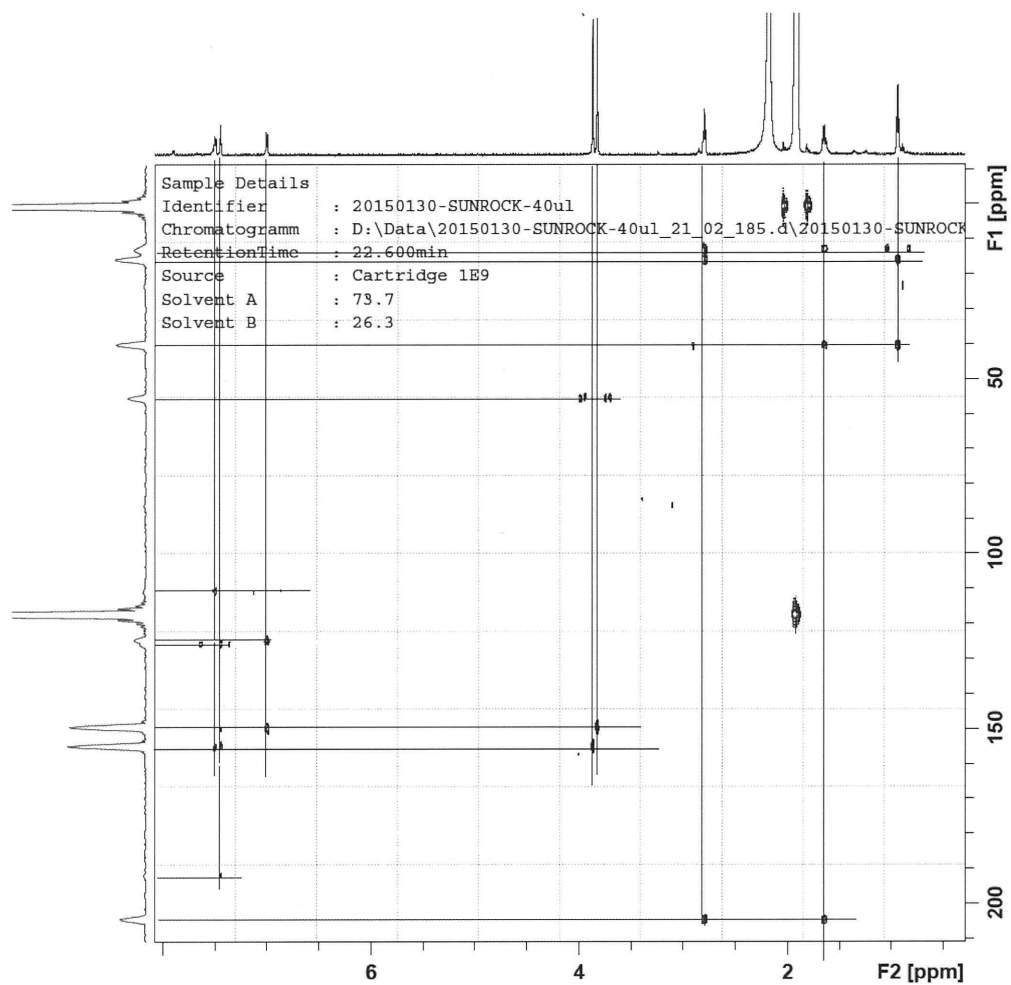


図 29 サンロック Fr.5 の HMBC スペクトル

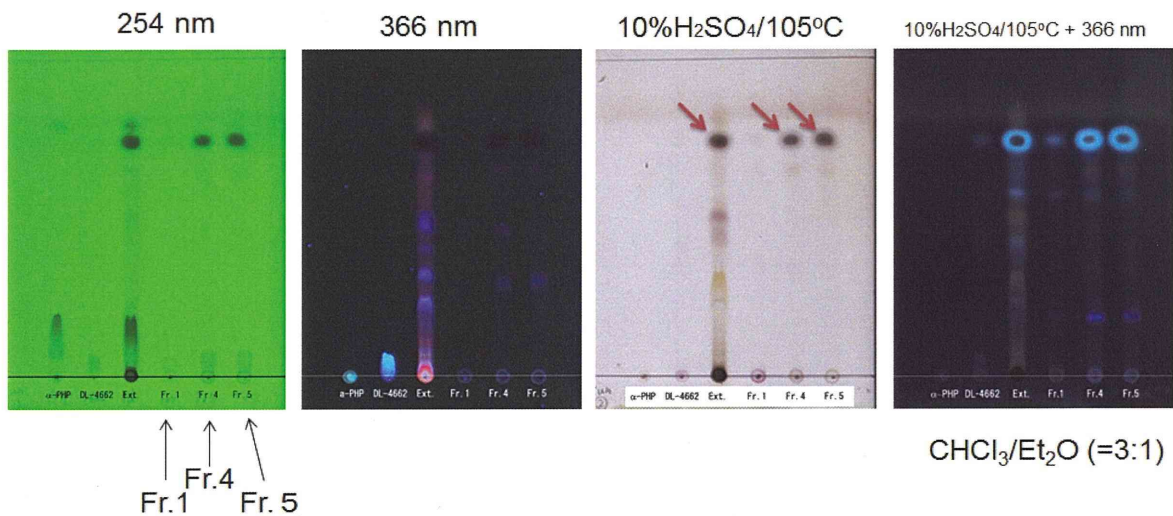


図 30 サンロックの回収フラクションの TLC

分担研究報告書

分担研究課題:新規流通危険ドラッグの予測に関する研究

分担研究者:内山 奈穂子 国立医薬品食品衛生研究所生薬部 主任研究官

—危険ドラッグである合成カンナビノイドの新規流通予測に関する研究—

研究要旨:昨今、いわゆる「脱法ハーブ」や「リキッドアロマ」などと呼ばれる危険ドラッグに起因すると考えられる健康被害や交通事故等が多発しており、深刻な社会問題となっている。これら薬物の乱用を防止すべく、平成 27 年 2 月時点で、1454 化合物+1 植物が指定薬物として指定されている。しかし、以前として新たな化合物が危険ドラッグ成分として検出されることが危惧される。そこで、本研究では、新規流通危険ドラッグの予測を目的として検討を行うこととした。今回は、危険ドラッグ製品中から特に多く検出される「合成カンナビノイド」の新規流通化合物の予測を試みた。具体的には、平成 26 年度に多く検出された合成カンナビノイドを中心に、これまで検出された合成カンナビノイドの代表的な骨格を元に文献を検索し、危険ドラッグ成分のアナログにあたる化合物を挙げ、カンナビノイド受容体 CB1 に対する親和性 (k_i 値等) などの作用等について調べた。その結果として、指定薬物 AB-CHMINACA など $1H$ -indazole-3-carboxamide 誘導体、 N -benzyl 基を有する SDB-006 のアナログ、その他 carboxamide 基を有する化合物のアナログ、他の骨格として、2-((1-benzyl-1 H -indol-3-yl)methylene)quinuclidin-3-one アナログ、indazole sulfonamide 誘導体を挙げ、さらにその CB1-R に対する親和性 (K_i , EC50 など) をまとめた。特に、 $1H$ -indazole-3-carboxamide 誘導体の多くの化合物は強力な CB1-R に対する親和性を有しており、今後危険ドラッグとしての流通が懸念された。

A. 研究目的

昨今、いわゆる「脱法ハーブ」や「リキッドアロマ」などと呼ばれる危険ドラッグに起因すると考えられる健康被害や交通事故等が多発しており、深刻な社会問題となっている。(なお、平成 26 年 7 月、違法ドラッグ、脱法ドラッグ等は、新呼称名として「危険ドラッグ」となった。) 厚生労働省では、危険ドラッグ成分として流通の認められた化合物について、隨時指定薬物として指定しており、平成 24 年度に施行された合成カンナビノイドの包括指定(759 化合物)に引き続き、平成 25 年 11 月からカチノン系化合物についても包括指定(474 化合物)が施行され、平成 27 年 2 月時点で、1454 化合物+1 植物が指定された。しかし、依然

として新たな化合物が危険ドラッグ成分として検出されることが危惧される。そこで、本研究では、新規流通危険ドラッグの予測を目的として検討を行うこととした。我々がこれまで継続的に行っていける危険ドラッグ製品の流通実態調査において、製品中から特に多く検出されるものが合成カンナビノイドである。本来、合成カンナビノイドは、カンナビノイド受容体の様々な薬理作用が注目されると同時に、医薬品開発の目的で多くの合成カンナビノイドが合成され、その薬理作用についても報告されている。一方、2008-2009 年に合成カンナビノイドとして cannabicyclohexanol や JWH-018 が危険ドラッグ製品から検出されて以降、多種多様な合成カンナビノイドが危険ドラッグ製品から検

出された。平成 27 年 2 月時点で合成カンナビノイドは、指定薬物としては、個別指定 87 化合物及びナフトイルインドール類の包括指定 759 化合物であり、また指定薬物から麻薬となった 8 化合物を含めると、合計 854 化合物が規制薬物となつた。

そこで今回は、危険ドラッグ成分のうち、「合成カンナビノイド」の新規流通化合物の予測を試みることとした。

B. 研究方法

具体的には、平成 26 年度に多く検出された合成カンナビノイドを中心に、これまで検出された合成カンナビノイドの代表的な骨格を元に文献を検索し、危険ドラッグ成分のアナログにあたる化合物を挙げ、特にカンナビノイド受容体 CB1 に対する親和性 (Ki 値等)などの作用等についてまとめた。さらにこれらデータから、今後新規流通が懸念される化合物を予測した。

C. 研究結果・考察

平成 26 年度に最も多く検出された合成カンナビノイドの分類として、indole- または indazole- の dicarboxamide または carboxamide-carboxyester を有する化合物であった。そこで今回、上記の骨格を有する指定薬物 AB-CHMINACA, ADB-FUBINACA などのアナログとして、1*H*-indazole-3-carboxamide 類及びその CB1-R に対する親和性 (Ki 値) を Fig. 1A-E, 2A-D に示した。さらに、*N*-benzyl 基を有する SDB-006 のアナログについては Fig. 3, 4 に示し、その他 carboxiamide 基を有する化合物のアナログは、Fig. 4, 5, 6 に示し、他の骨格として、2-((1-benzyl-1*H*-indol-3-yl)methylene)quinuclidin-3-one アナログは Fig. 7 に示し、indazole sulfonamide 誘導体は Fig. 8 に示した。

1. 1*H*-Indazole-3-carboxamide 骨格を有する化合物について (indazole 骨格の

dicarboxamide または carboxamide-carboxyester 類について)

平成 26 年度に多く検出された合成カンナビノイドの分類の一つとして、

1*H*-indazole-3-carboxamide 骨格が挙げられる。指定薬物としては、AB-CHMINACA, ADB-CHMINACA, MDMB-CHMINACA, MA-CHMINACA, ADB-DFUBINACA などが含まれる。特に、AB-CHMINACA は、平成 26 年 6 月に東京池袋で発生した危険 ドラッグ吸引による危険運転死傷事故において、加害者の所持していた危険 ドラッグ製品から検出された成分である。本骨格のアナログ及びその CB1-R に対する親和性 (Ki 値) は 2009 年に特許論文として報告されており、前述の指定薬物となった合成カンナビノイドも含まれている [1, 2]。両特許では、それぞれ約 730 種、約 520 種と多数の化合物が記載されているが、このうち、特に CB1-R に対する親和性 (Ki 値) が比較的強い (Ki 値: 10 nM 未満) 化合物を抜粋し、それぞれ Fig. 1A-E, 2A-D に示した。Fig. 1A-a) に示した通り、1*H*-indazole-3-carboxamide の各位、即ち、X: CH and N, R1: H, C1-6 alkyl, C1-6 cyanoalkyl, C1-6 alkyl-CO(CH₂)₁₋₆ など、R2: aminocarbonyl, alkoxy, heteroaryl など、R3: independently H, halo, C1-6 alkyl, aryl, aminocarbonyl, などに置換した化合物が記載されている [1, 2]。Fig. 1A-E は主に 1-alkyl-1*H*-indazole-3-carboxamide 誘導体 (Group 1 とする)、Fig. 2A-D は主に 1-benzyl-1*H*-indazole-3-carboxamide 誘導体を示した (Group 2 とする)。Group 1 については、R1 の置換基が cycloalkyl (化合物 5, AB-CHMINACA: 化合物 21) や cyanoalkyl (化合物 1), trifluoroalkyl (化合物 8) などの置換基に関わらず、何れも Ki 値が 10 nM 未満と強力な CB1-R 親和性を有する (Fig. 1A)。また、R2 の置換基については、aminocarbonyl, alkoxy, heteroaryl などに関わらず、多数の化合物が強力な CB1-R 親和性を有する (Fig. 1A-E)。また、R2

の末端がカルボン酸(化合物 268)であっても強力なCB1-R 親和性を有する(Fig 1Dなど). R3 の置換基については, F(化合物 188), Cl(化合物 153)などで置換された化合物についても, 強力な CB1-R 親和性を有する(Fig 1C など).

また, Group 2 についても, Group 1 と類似の傾向がみられ, R1, R2, R3 が様々に置換された化合物においても, CB1-R 親和性は保持されていた(Fig. 2A-D). 特に R1 が 4-Fluorobenzyl 且つ R3 がハロゲン(F, Cl)で置換された化合物は一様に強力な親和性を示すようである(化合物 170~187, Fig. 2B).

以上の結果から, 1*H*-indazole-3-carboxamide 誘導体は実に多数の化合物が強力な CB1-R 親和性を有しており, 今後もこれら化合物, またはこれら化合物に非常に類似した化合物が流通する可能性が考えられた.

2. *N*-Benzyl (or adamantly or naphthyl)-1*H*-indole (or 1*H*-indazole)-3-carboxamide (or 3-carboxylate)骨格を有する化合物について
次に,

N-Benzyl (or adamantly or naphthyl)-1*H*-indole (or 1*H*-indazole)-3-carboxamide (or 3-carboxylate)骨格を有する化合物について述べる(Fig. 3, 4, 5) [3, 4, 5]. Fig. 3 に文献 3 で報告されている化合物を示した. *N*-Benzyl 基を有する化合物は指定薬物として SDB-006 などがあるが, 製品からの検出例は少ない. しかし, 化合物 SGT-56 は, 既に web 上での販売が見られ, さらに CUMYL-PICA という名で, 分析用標準品が cayman chemical 社より市販されている. *N*-dimethyl (or cyclopropyl)benzyl-1*H*-indole (or 1*H*-indazole)-3-carboxamide 骨格を有する化合物(SGT24~SGT161)は CB1-R 親和性を有する(EC50: <0.1~2.8 nM) (Fig. 3 中の Table). 一方, 1*H*-indole (or 1*H*-indazole)-3-carboxylate 骨格を有する化合物(SGT-209, SGT214)の場合, 親和性は非常に弱くなる(>2200 nM).

次に, Fig. 4 に文献 4 で報告されている化合物

を示した. 指定薬物である SDB-006, AB-001 以外にも, 3-carboxamide に phenyl 基や adamantyl 基が付加した化合物が CB1-R 親和性を有する(EC50: 16~37 nM) (Fig. 4 中の Table). さらに, Fig. 5 に文献 5 で報告されている化合物を示した. 化合物 2 は AM-1248 (指定薬物) の carboxyamide アナログ, 化合物 3~5 は APINACA 及び 5-Fluoro-APINACA (指定薬物) のアナログ, 化合物 7~8 は 5-Fluoro-NNEI indazole analog のアナログである. これら化合物が今後流通する可能性が考えられる.

3. 1*H*-Indol-3-yl)(4-methylpiperazin-1-yl)methanone 骨格を有する化合物について

MEPIRAPIM (指定薬物) は本骨格を有する化合物であるが, Fig 6 に文献 6 で報告されている化合物を示した [6]. Org 28611 及び Org28312 はいずれも CB1-R 親和性を有し(CB1 pKi = 8.9), 陽性対照 CP55940 と WIN55212-2 (CB1 pKi = 9.5, 7.9) の中間の値であった (Fig. 6 中の Table).

4. (E)-2-((1-Benzyl-1*H*-indol-3-yl)methylene) quinuclidin-3-one 骨格を有する化合物について

本骨格を有する化合物については, 文献 7 に報告があり. Fig. 7 に各構造を示した. これら骨格の化合物は危険ドラッグ成分としては未検出である. 本文献の化合物のうち, 化合物 8 は, Ki 値が 9 nM と強力な CB1-R 親和性を有する (Fig. 7 中の Table).

5. Indazole sulfonamide 骨格を有する化合物について

本骨格を有する化合物については, 文献 8 に報告があり. Fig. 8 に各構造を示した. これら骨格の化合物は危険ドラッグ成分としては未検出である. 本文献の化合物 30, 33 は, それぞれの Ki 値が 4.93 nM, 4.78 nM と強力な CB1-R 親和性を有する (Fig. 8).

以上, 指定薬物 AB-CHMINACA など 1*H*-indazole-3-carboxamide 誘導体, *N*-benzyl 基

を有する SDB-006 のアナログ、その他 carboxiamide 基を有する化合物のアナログ、その他の骨格として、

2-((1-benzyl-1*H*-indol-3-yl)methylene)quinuclidin-3-one アナログ、indazole sulfonamide 誘導体を挙げ、さらにその CB1-R に対する親和性 (Ki, EC₅₀ など) を示した。特に、1*H*-indazole-3-carboxamide 誘導体の多くの化合物は強力な CB1-R に対する親和性を有しており、今後危険ドラッグとしての流通が懸念される。

D. 結論

本研究では、平成 26 年度に多く検出された合成カンナビノイドを中心に、これまで検出された合成カンナビノイドの代表的な骨格を元に文献を検索し、危険ドラッグ成分のアナログにあたる化合物を挙げ、特にカンナビノイド受容体 CB1 に対する親和性 (ki 値等) などの作用等についてまとめ、今後新規流通が懸念される化合物を予測した。特に、指定薬物 AB-CHMINACA など 1*H*-indazole-3-carboxamide 誘導体の多くの化合物は強力な CB1-R に対する親和性を有しており、今後、本骨格の化合物が危険ドラッグ成分として流通する可能性が危惧される。

E. 参考文献

1. Buchler, Ingrid Price et al., Indazole derivatives as CB1 receptor modulators and their preparation and use in treatment of diseases. PCT Int. Appl. (2009), WO 2009106980 A2 20090903.
2. Buchler, Ingrid Price et al., Indazole derivatives as CB1 receptor modulators and their preparation and use in the treatment of CB1-mediated diseases. PCT Int. Appl. (2009), WO 2009106982 A1 20090903.
3. Bowden, Matthew James; Williamson, James Peter Bernard. Preparation of cannabinoid indole and indazole compounds for treating pain and nausea, stimulating appetite, and inducing a positive mood change. PCT Int. Appl. (2014), WO 2014167530 A1 20141016.
4. Banister, Samuel D.; Wilkinson, Shane M.; Longworth, Mitchell; Stuart, Jordyn; Apetz, Nadine; English, Katrina; Brooker, Lance; Goebel, Catrin; Hibbs, David E.; Glass, Michelle; et al., The synthesis and pharmacological evaluation of adamantane-derived indoles: cannabimimetic drugs of abuse. ACS Chemical Neuroscience (2013), 4(7), 1081-1092.
5. Makriyannis, Alexandros; Liu, Qian. Heteroindanes: a new class of potent cannabimimetic ligands. PCT Int. Appl. (2003), WO 2003035005 A2 20030501.
6. Adam, Julia M.; Cairns, Jim; Caulfield, Wilson; Cowley, Phillip; Cumming, Iain; Easson, Morag; Edwards, Darren; Ferguson, Morag; Goodwin, Richard; Jeremiah, Fiona; et al., Design, synthesis, and structure-activity relationships of indole-3-carboxamides as novel water soluble cannabinoid CB1 receptor agonists. MedChemComm (2010), 1(1), 54-60.
7. Nikhil Reddy Madadi et al., Evaluation of (Z)-2((1-benzyl-1*H*-indol-3-yl)methylene)-quinuclidin-3-one analogues as novel, high affinity ligands for CB1 and CB2 cannabinoid receptors. Bioorg. Med. Chem. Lett. (2013) 23, 2019–2021.
8. Santhakumar, Vijayaratnam; Tomaszewski, Miroslaw. Preparation of nitro indazole derivatives as cannabinoid receptor ligands for managing pain and other diseases. PCT Int. Appl. (2006), WO 2006052189 A1 20060518.

F. 健康危険情報

特になし。

G. 研究発表

学会発表

特になし。

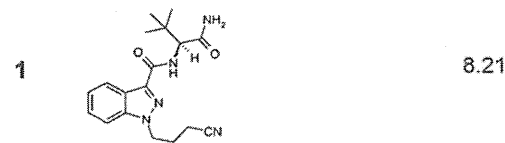
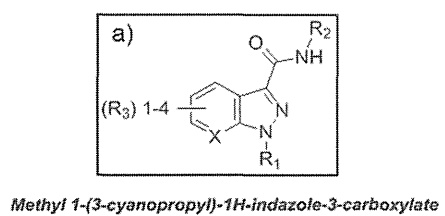
論文発表

特になし。

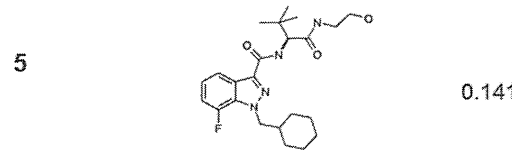
H. 知的財産権の出願・登録状況

特になし

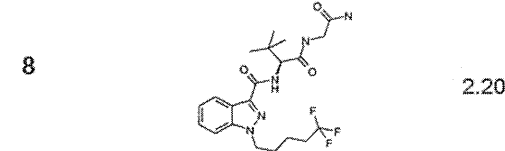
1-alkyl-1H-indazole-3-carboxamide derivatives (Group 1)



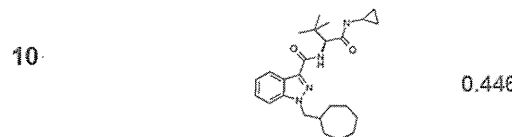
Example 5: 1-(cyclohexylmethyl)-7-fluoro-N-[(1S)-1-[(2-hydroxyethyl)amino]carbonyl]-2,2-dimethylpropyl]-1H-indazole-3-carboxamide



Example 8: N-[(1S)-1-(aminocarbonyl)-2,2-dimethylpropyl]-1-{2-(tert-butylamino)-2-oxoethyl}-1H-indazole-3-carboxamide



Example 10: 1-[cycloheptylmethyl]-N-[(1S)-1-[(2-hydroxyethyl)amino]carbonyl]-2,2-dimethylpropyl]-1H-indazole-3-carboxamide



CB1: Ki (nM)

ADB-CHMINACA				
13	N-[(1S)-1-(aminocarbonyl)-2,2-dimethylpropyl]-1-(cyclohexylmethyl)-1H-indazole-3-carboxamide	22	N-[(1S)-1-(aminocarbonyl)-2,2-dimethylpropyl]-1-(tetrahydro-2H-pyran-4-ylmethyl)-1H-indazole-3-carboxamide	39
0.269		1.87		3.09
15	N-[(1S)-1-(aminocarbonyl)-3-methylbutyl]-1-(cyclohexylmethyl)-1H-indazole-3-carboxamide	29	N-[(1S)-1-(aminocarbonyl)-2,2-dimethylpropyl]-1-(4-cyanobutyl)-1H-indazole-3-carboxamide	45
3.38		4.43		0.592
16	ethyl (1R,2S)-2-((1-(cyclohexylmethyl)-1H-indazol-3-yl)carbonyl)amino)cyclohexanecarboxylate	33	N-[(1S)-1-(aminocarbonyl)-2,2-dimethylpropyl]-1-(cyclohexylmethyl)-1H-pyrazolo[3,4-b]pyridine-3-carboxamide	48
3.81		0.580		6.41
AB-CHMINACA				
21	N-[(1S)-1-(aminocarbonyl)-2-methylpropyl]-1-(cyclohexylmethyl)-1H-indazole-3-carboxamide	36	N-[(1S)-1-(aminocarbonyl)-2,2-dimethylpropyl]-1-(tetrahydro-2H-pyran-2-ylmethyl)-1H-indazole-3-carboxamide	49
0.519		4.10		5.56

Fig. 1A

CHMINACA-BA					
50		107		131	
380	N-[{(1-(cyclohexylmethyl)-1H-indazol-3-yl]carbonyl]-L-valine	5.61	N-{(1S)-1-(aminocarbonyl)-2,2-dimethylpropyl}-5-chloro-1-(4-cyanobutyl)-1H-indazole-3-carboxamide	1.15	N-{[1-(cyclohexylmethyl)-1H-indazol-3-yl]carbonyl}-3-methyl-L-valylglycinamide
68		127		135	
1.79	1-(cyclohexylmethyl)-N-{[(1S)-1-[(2-hydroxyethyl)amino]carbonyl]-2-methylpropyl}-1H-indazole-3-carboxamide	0.714	methyl N-{[1-(4-cyanobutyl)-1H-indazol-3-yl]carbonyl}-3-methyl-L-valinate	0.284	1-(cyclohexylmethyl)-N-{(1S)-1-[(cyclopropylamino)carbonyl]-2,2-dimethylpropyl}-1H-indazole-3-carboxamide
74		128		132	
1.47	N-{[(2,5-dimethyl-3-furyl)methyl]-1-(tetrahydro-2H-	0591	methyl 3-methyl-N-{[1-(tetrahydro-2H-pyran-4-ylmethyl)-1H-indazol-3-yl]carbonyl]-L-valinate	1.04	N-{(1S)-1-[(cyclobutylamino)carbonyl]-2,2-dimethylpropyl}-1H-indazole-3-carboxamide
80		129		133	
5.81	N-{(1S)-1-(aminocarbonyl)-2,2-dimethylpropyl}-1-(4-cyanobutyl)-5-methyl-1H-indazole-3-carboxamide	0.0944	methyl N-{[1-(cyclohexylmethyl)-1H-indazol-3-yl]carbonyl}-3-methyl-L-valinate	0.195	1-(cyclohexylmethyl)-N-{(1S)-2,2-dimethyl-1-[(methylamino)carbonyl]propyl}-1H-indazole-3-carboxamide
100		130		134	
1.73	N-{[5-methyl-2-(trifluoromethyl)-3-furyl]methyl}-1-(tetrahydro-2H-pyran-4-ylmethyl)-1H-indazole-3-carboxamide	1.02	methyl N-{[1-(2-tert-butoxy-2-oxoethyl)-1H-indazol-3-yl]carbonyl}-3-methyl-L-valinate	0.452	1-(cyclohexylmethyl)-N-{(1S)-1-[(isopropylamino)carbonyl]-2,2-dimethylpropyl}-1H-indazole-3-carboxamide
MDMB-CHMINACA		137		138	
139		140		143	
0.610	1-(cyclohexylmethyl)-N-{(1S)-1-[(2-methoxyethyl)amino]carbonyl}-2,2-dimethylpropyl}-1H-indazole-3-carboxamide	9.63	1-(3-cyanopropyl)-N-{(1S)-1-[(cyclopropylamino)carbonyl]-2,2-dimethylpropyl}-1H-indazole-3-carboxamide	2.31	N-{(1S)-1-[(2-hydroxyethyl)amino]carbonyl}-2,2-dimethylpropyl)-1-(tetrahydro-2H-pyran-4-ylmethyl)-1H-indazole-3-carboxamide
144		145		3.58	1-(4-cyanobutyl)-N-{(1S)-1-[(2-hydroxyethyl)amino]carbonyl}-2,2-dimethylpropyl}-1H-indazole-3-carboxamide

Fig. 1B

146 6.86			153 1.35			170 4.37			175 2.80			183 0.708	
148 0.543			154 4.25			171 0.174			178 1.00			184 1.76	
152 2.86			155 2.49			172 1.32			179 2.61			186 0.348	
153 1.35			158 5.89			173 0.143			180 2.60			187 6.15	
			166 1.46			174 1.64			181 6.15			188 0.0867	

Fig. 1C

196 0.338		237 2.44		333 0.338		380 0.610		449 0.983	
217 0.483		COOH 268 1.21		335 0.480		383 0.583		463 0.656	
219 0.750		288 0.288		343 1.40		392 2.11		479 2.22	
		305 0.392		366 5.41		435 0.143		497 0.25	
228 3.98		317 0.239		372 0.582		442 0.351		505 2.54	
235 4.06									

Fig. 1D

508 0.43		567 0.84		686 3.94	
528 0.09		581 4.39		710 7.57	
536 3.2		582 9.5		723 6.41	
545 0.42		638 2.84		643 5.68	
561 3.4					

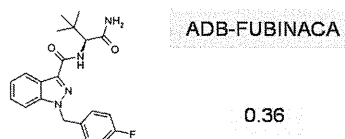
Fig. 1E

**1-benzyl-1H-indazole-3-carboxamide derivatives
(Group 2)**

CB1: Ki (nM)

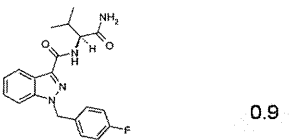
Example 1: N-[(1S)-1-(Aminocarbonyl)-2,2-dimethylpropyl]-1-(4-fluorobenzyl)-1H-indazole-3-carboxamide

1



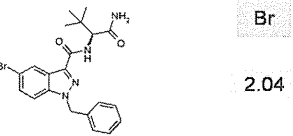
Example 2: N-[(1S)-1-(aminocarbonyl)-2-methylpropyl]-1-(4-fluorobenzyl)-1H-indazole-3-carboxamide

2



Example 7: N-[(1S)-1-(aminocarbonyl)-2,2-dimethylpropyl]-1-benzyl-5-bromo-1H-indazole-3-carboxamide

7



13		0.73	N-[(1S)-1-(aminocarbonyl)-2,2-dimethylpropyl]-1-(2-fluorobenzyl)-1H-indazole-3-carboxamide	81		0.32	1-(4-fluorobenzyl)-N-[(1S)-1-(2-hydroxyethyl)amino]-2,2-dimethylpropyl-1H-indazole-3-carboxamide	131		0.60	N-[(1S)-2,2-dimethyl-1-(((5-methyl-1,2,4-oxadiazol-3-yl)methyl)amino)carbonyl]-2,2-dimethylpropyl-1-(4-fluorobenzyl)-1H-indazole-3-carboxamide
27		0.33	N-[(1S)-1-(aminocarbonyl)-2,2-dimethylpropyl]-1-benzyl-1H-indazole-3-carboxamide	99		0.18	N-[(1S)-1-((2-(cyclopropylsulfonylamino)ethyl)amino)-2,2-dimethylpropyl]-1-(4-fluorobenzyl)-1H-indazole-3-carboxamide	133		0.55	1-(4-fluorobenzyl)-N-[(1S)-1-((4-hydroxypiperidin-1-yl)carbonyl)-2,2-dimethylpropyl]-1H-indazole-3-carboxamide
CN		2.05	N-[(1S)-1-(aminocarbonyl)-2,2-dimethylpropyl]-1-(4-cyanobenzyl)-1H-indazole-3-carboxamide	118		0.7	N-[(1S)-1-((5-amino-1,3,4-oxadiazol-2-yl)methyl)amino]-2,2-dimethylpropyl-1-(4-fluorobenzyl)-1H-indazole-3-carboxamide	135		3.47	ethyl 3-((N-[(1-(4-fluorobenzyl)-1H-indazol-3-yl)carbonyl]-3-methyl-L-valyl)amino)methyl)-1,2,4-oxadiazole-5-carboxylate
38		0.14	methyl N-[(1-benzyl-1H-indazol-3-yl)carbonyl]-3-methyl-L-valinate	126		0.97	N-[(1S)-2,2-dimethyl-1-(((5-aminocarbonyl)-1,2,4-oxadiazol-3-yl)methyl)amino]propyl-1-(4-fluorobenzyl)-1H-indazole-3-carboxamide	137		0.97	N-[(1S)-1-(((5-aminocarbonyl)-1,2,4-oxadiazol-3-yl)methyl)amino]-2,2-dimethylpropyl-1-(4-fluorobenzyl)-1H-indazole-3-carboxamide
80		0.21	N-[(1S)-1-(cyclopropylamino)carbonyl]-2,2-dimethylpropyl-1-(4-fluorobenzyl)-1H-indazole-3-carboxamide	128		0.97	ethyl 5-((N-[(1-(4-fluorobenzyl)-1H-indazol-3-yl)carbonyl]-3-methyl-L-valyl)amino)methyl)-1,3,4-oxadiazole-2-carboxylate	141		9.42	N-[(1S)-2,2-dimethyl-1-(((2-morpholin-4-ylethyl)amino)carbonyl)propyl]-1-(4-fluorobenzyl)-1H-indazole-3-carboxamide

Fig. 2A

148 1.80					
151 1.63					
154 0.53					
160 1.45					
163 0.42					
168 0.42					

Fig. 2B

198 1.19		214 3.87		233 2.45		266 0.94		306 0.78	
199 1.32		215 7.69		236 0.94		284 1.03		309 1.59	
200 4.8		224 6.77		241 1.65		292 5.25		328 0.71	
	propyl-1H-indazole-3-carboxamide			242 0.36		302 5.41		330 0.20	
202 0.8		225 6.3		251 0.51				338 3.43	
211 3.08		228 4.26							

Fig. 2C